

QEMU を利用した V850 シミュレータの開発と評価

尾崎 辰典^{†1,*1} 中本 幸一^{†1} 藪内 健二^{†2}

自動車や航空機はいまや小型のコンピュータがネットワークで結合された大規模分散組み込みシステムとなってきた。こうしたコンピュータシステム、特にソフトウェアの規模や複雑さが最近急速に増大している。このため、製品のハードウェアとソフトウェアを並行同時開発する必要があり、製品のハードウェアが存在しなくてもソフトウェアの開発を進めるための各種のシミュレータが利用され、それらを統合した仮想実行環境が必要となってきた。本研究ではその一部として、命令変換型のシミュレータである QEMU を利用して NEC 製マイクロプロセッサ V850 のシミュレータを開発した。本稿では、その実装と評価を述べる。

Implementation and Evaluation of V850 Simulator using QEMU

TATSUNORI OSAKI,^{†1,*1} YUKIKAZU NAKAMOTO^{†1}
and KENJI YABUCHI^{†2}

The size and complexity of large-scale distributed embedded systems such as automotive and process control have increased recently. In order to develop the large-scale distributed embedded systems with high productivity and quality, a virtual execution environment is required. This environment integrates numerous CPU simulators and various device simulators through the network and provides network-wide simulation functionalities in the distributed system. In this paper, we present implementation and evaluation of V850 CPU simulator using QEMU as one of simulator in the environment.

†1 兵庫県立大学大学院応用情報科学研究科
Graduate School of Applied Informatics, University of Hyogo

*1 現在、富士通テン株式会社
Presently with Fujitsu Ten Limited

†2 株式会社オクトパス
OCTOPATH Corporation

1. はじめに

自動車や航空機はいまや小型のコンピュータがネットワークで結合された大規模分散組み込みシステムとなってきた。こうしたコンピュータシステム、特にソフトウェアの規模や複雑さが最近急速に増大している。さらに、これらのシステムは高信頼性、高環境性が要求され、そのため開発コストも膨大である。大規模分散組み込みシステムは多くの CPU や物理空間と制御を行うデバイスから構成されること、さらに大規模なネットワークシステムであることが特徴である。制御を行うデバイスには物理空間での物体、自動車や航空機を構成する部品、様々なハードウェアがある。自動車システムでの例では数 10 個から 100 個程度のコンピュータ（車載システムでは ECU という）が使用され、センサーがデータを取得し、ECU がデータ処理、アクチュエータを通じて必要な制御コマンドを制御対象に送る。一方、市場からは組み込みシステムの開発コストの削減、より短期間での開発が要請されている。特にソフトウェアの規模と複雑さが増大しており、これが開発期間の長期化と開発コストの増大の主要因となっている。このため、製品のハードウェアとソフトウェアを並行同時開発する必要があり、製品のハードウェアが存在しなくてもソフトウェアの開発を進めるための各種のシミュレータが利用されてきている。CPU ボードの代替としてソフトウェアを稼働させる CPU シミュレータがその代表的なものである。これだけでなく、エンジンやブレーキといった制御デバイスをシミュレーションするデバイスシミュレータも利用されている。ここでは、CPU だけでなく制御デバイスまで含めたシミュレータを統合した環境を仮想実行環境と呼ぶことにする。すなわち、大規模分散組み込みシステム開発のために、分散組み込みシステム向け仮想実行環境が必要とされている。

本稿では分散組み込みシステム向け仮想実行環境における CPU シミュレータを QEMU を用いて開発し評価したのでこれを報告する。ターゲット CPU は NEC 製プロセッサ V850 である。このような仮想実行環境において CPU シミュレータを自作したのは、廉価で拡張が容易な CPU シミュレータが必要であったからである。

2. 仮想実行環境と関連研究

仮想実行環境には以下の形態がある。Software-In-the-Loop Simulation (SILS) では、CPU シミュレータ上のプログラムがデバイスシミュレータからセンサーデータを取得、処理、制御を行うものである。一方、Hardware-In-the-Loop Simulation (HILS) では、ECU 上のプログラムがデバイスシミュレータからセンサーデータを取得、処理、制御を行

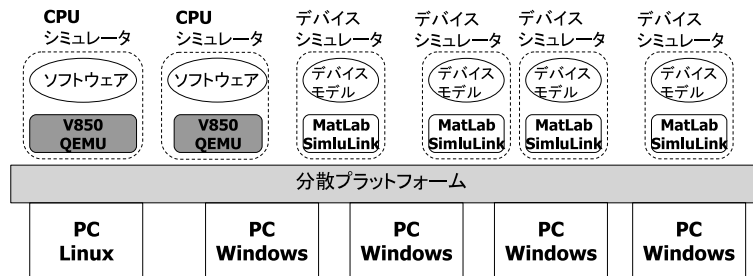


図 1 分散組込みシステム向け仮想実行環境

うものである。HILS は制御対象装置の代替として利用される。今後、より安全、より快適、環境に配慮したサービス提供のために、周辺車両も含めた多数のセンサーからデータ取得を行い、デバイスを制御することが必要となってくるため、組込みシステムは必然的にネットワーク化、分散化、大規模化してくる。このため、SILS, HILS が複雑化していく一方、必要性も高まってくると考えられる。また、制御のための入力データはこれまでのアナログデータだけでなく、インターネットなどサイバー空間からのデジタルデータも必要となる。例えば、オートクルーズ制御で、地図データや渋滞情報を利用するというものである。

以下に仮想実行環境に関する関連研究を述べる。これには制御対象のモデル化から行うトップダウンアプローチと既存のシミュレータを結合させていくボトムアップアプローチがある。前者には、カリフォルニア大バークレイ校の Chess プロジェクト (Center for Hybrid and Embedded Software Systems) での Actor-oriented model¹¹⁾ がある。ここでは、従来からの物理モデル以外に、データフロー、離散イベントモデルなどを統合したシミュレーションモデルを構築し、Java 言語を使った開発環境として提供している。しかし、開発モデルが従来と異なることからソフトウェア開発者の技術修得に難があると考えられる。IBM の SysML は物理モデルと UML による離散モデルの統合を目指している²⁾。一方、後者には、既存の CPU シミュレータと制御モデルとを UNIX のパイプ機能を使って結合されたものがある⁵⁾。

筆者らのグループでは、上述の大規模分散組込みシステムにおける高生産、高品質のソフトウェアの開発支援のために、CPU と制御対象デバイスのシミュレーション環境とこれらを統合させる分散プラットフォームの基盤技術の研究を行っている (図 1)⁹⁾。

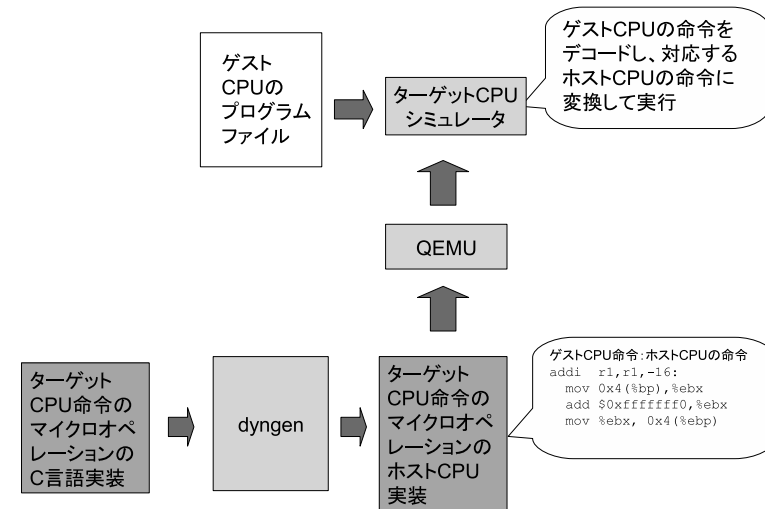


図 2 QEMU の機能

3. QEMU の機能

本研究で使用した QEMU は Fabrice Bellard によって開発されたオープンソースの CPU シミュレータである³⁾。現在 Linux 上の仮想マシン KVM⁶⁾ や Android の開発環境 (例えば 7))、OS 教材¹²⁾ に利用されている。現在、x86, ARM, SH, MIPS, PowerPC, 68000 などの CPU シミュレータが実現されている。

CPU シミュレータ開発のベースを QEMU としたのは次のような理由による。

- オープンソースであり、機能拡張が容易である。
- Linux, Windows, MacOS, FreeBSD のような多くの OS 上で利用可能なシミュレータを生成する。さらに、新たなマシン記述とエミュレートデバイスを加えることで、特別な組込み機器を比較的容易にシミュレートすることができる。
- 命令変換方式の CPU シミュレーションを行うため、高速なシミュレーション実行が期待できる。このため実時間でのシミュレーションの可能性もあり、ターゲットマシンとシミュレータが混在した環境でのシミュレーションも期待できる。
- 既に多くの CPU シミュレータが実現されており、仮想実行環境においてこれらの CPU

シミュレータの利用が期待できる。

- マルチコア CPU の対応がなされている。
- ポートアクセス時に起動する関数を定義できるなど組み込みシステムの入出力のシミュレーションに有効な機能がある。
- 命令変換方式の技術を習得しなかったこと。

一方、デバッグ機能の内蔵しているがブレークポイントでの停止、再開などであり、ターゲットプログラムの実行制御は別途用意する必要がある。ターゲットプログラムのデバッグという目的には適さないと考えられる。

QEMU における命令変換は、実行時にターゲット CPU の命令をホスト CPU 用に変換することによってシミュレーションを行う。この変換の概要を図 2 に示す。この変換方法では、まず、ターゲット CPU の命令をデコードしマイクロオペレーションの列に分割する。QEMU でのマイクロオペレーションは、ターゲット CPU より単純な命令であり、ホスト CPU の命令列に対応付けられている。マイクロオペレーションは C 言語で記述され、dyngen というツールとホスト CPU 上のコンパイラ (多くは x86 のコンパイラ) によってホスト CPU の命令列に変換される。マイクロオペレーションとそのホスト CPU 命令列の対応は QEMU の生成したシミュレータ内で保持される。QEMU の生成したシミュレータ

では、ターゲット CPU の命令をデコードして、その命令に対応するマイクロオペレーションを求め、このオペレーションのホスト CPU コードを Translated Block (TB) というバッファにコピーする (図 3 参照)。この操作はターゲットプログラムにおいてジャンプ等の命令が現れるまで続けられる。ジャンプ命令が現れるとターゲットプログラムのデコードは中断して、TB 上にある変換されたホスト CPU の命令列を実行する。デコード時にターゲット CPU の命令列が既にバッファ内の TB にある場合はキャッシュとしてこれが再利用される。

3.1 マイクロオペレーションの仕様

本研究で使用した QEMU はバージョン 0.9.0 である。このバージョンの QEMU のマイクロオペレーションを定義する上でいくつかの規則がある。

- R1 T0 から T2 までの 3 つの仮想レジスタが利用可能であること。
- R2 ターゲット CPU のレジスタ値は、変数 env の指す領域に保持されること。
- R3 マイクロオペレーションは、op_ で始まる関数名で、その型は OPCODE であること。
- R4 op_ で始まる関数に対する実パラメータは、PARAM1 のようなマクロ変数でアクセス可能なこと。
- R5 マイクロオペレーションの関数名は、RETURN() で終わること。
- R6 マイクロオペレーションは op_ の前に gen_ を付けて呼出しを行うこと。

QEMU は他のホスト CPU への移植が容易とされる。これはマイクロオペレーションが C 言語で書かれており、移植先のホスト CPU の C コンパイラで当該ホスト CPU の命令に変換されるからである。

4. V850 QEMU の開発

4.1 V850 の機能概要

V850 は NEC 製の組み込み用 CPU で、シングルチップ・マイクロコンピュータである¹⁰⁾。V850 はユーザーモード (プロテクション) のない RISC プロセッサである。また命令数は 74、32 ビット汎用レジスタは 32 本、ロング/ショート形式を持ったロード/ストア命令、3 オペランド命令、プログラム空間は 16M バイト・リニア、データ空間は 4G バイト・リニア、飽和演算命令、ビット操作命令といった特徴を持つ。ただし、特権モード/非特権モードの違いはなく、仮想空間機能もない。

4.2 V850 用マイクロオペレーションの仕様

上述した規則に従い、V850 の命令に対してマイクロオペレーションを定義し、これらを使って V850 命令を分解した。

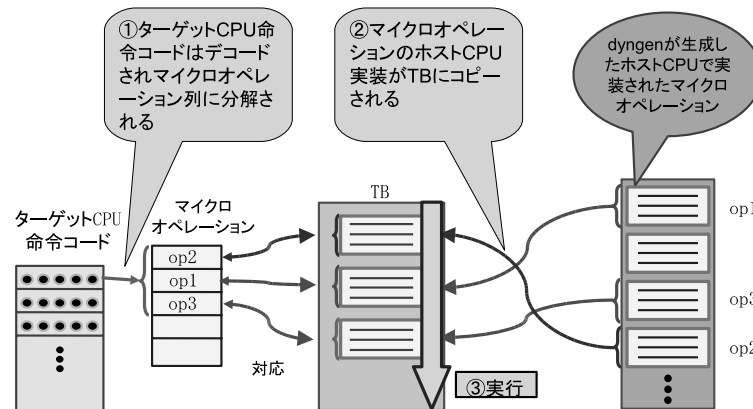


図 3 QEMU の命令変換

算術演算命令: V850 の算術演算命令に対して, 以下のようなマイクロオペレーションを定義した.

- `op_mov_rN_T0(n)`
n で示される汎用レジスタの値を T0 レジスタに入れる.
- `op_add_T0_rN(n)`
n で示される汎用レジスタに T0 レジスタの値を加算する.
- `op_mov_T0_rN(n)`
T0 レジスタの値を n で示される汎用レジスタの値に入れる.

これらを使用し, V850 の `add reg1, reg2` という命令は以下のようにマイクロオペレーションに分解される.

```
gen_op_mov_rN_T0(REG1);  
gen_op_add_T0_rN(REG2);
```

REG1, REG2 はそれぞれ, `add` 命令中でレジスタ番号を示すビット列から抽出したものである.

ロード/ストア命令: V850 のロード/ストア命令に対して, 以下のマイクロオペレーションを定義した.

- `op_addr_T1(r,d)`
r レジスタの内容から d 加算した値を T1 に入れる.
- `op_ldX_T1_T0()`
T1 の値を T0 レジスタにロードする. ここで X は b, ub, w, uw, l, ul のいずれかであり, それぞれ符号ありなしでのバイト, ワード, ロングワードでのアクセスを示す.
- `op_stX_T1_T0()`
T0 レジスタの内容を T1 のアドレスにストアする. X は上と同じ.

これらを使用し, V850 の `ld.w disp16[reg1], reg2` という命令は以下のようなマイクロオペレーションに分解される.

```
gen_op_addr_T1(REG1,DISP16);  
gen_op_ldul_T1_T0();  
gen_op_mov_T0_rN(REG2);
```

また, `st.h reg2, disp16[reg1]` という命令は以下のようなマイクロオペレーションに分解される.

```
gen_op_addr_T1(REG1,DISP16);  
gen_op_mov_rN_T0(REG2);  
gen_op_stw_T1_T0();
```

条件分岐命令: V850 の分岐命令をシミュレートするために以下のようなマイクロオペレーションを定義した.

- `gen_op_chkCOND()`
現在の条件レジスタ (PSW) の内容を調べて, COND で指定された条件が成立しているかどうかを返す. COND には `lt`(less than signed), `v`(overflow) など V850 の条件分岐命令に対応した条件が入る.

V850 の `blt L` という命令は以下のようなマイクロオペレーションに分解される.

```
gen_op_chklt();  
l1 = gen_new_label();  
gen_op_jT(l1);  
gen_goto_tb(ctx, 0, PC);  
gen_set_label(l1);  
gen_goto_tb(ctx, 1, L);
```

`gen_new_label()` 以降の関数は QEMU で提供されている関数で以下のような機能を有する. `gen_new_label()`, `gen_op_jT(l1)` で新しいラベル l1 を生成する. `gen_goto_tb(ctx, 0, PC)` で偽の場合のジャンプ先(この場合, ブランチ命令の次の命令を指す PC)を設定し, `gen_set_label(l1)`, `gen_goto_tb(ctx, 0, L)` で真の場合のジャンプ先(この場合, ブランチ命令のジャンプ先のラベル)を設定する.

4.3 V850 のマイクロオペレーション

V850 のマイクロオペレーションを C 言語で実装した. その例として `gen_op_addr_rN_T0(REG1)` の V850 マイクロオペレーションの実装を図 4 に示す.

このマイクロオペレーションは予め x86 命令にコンパイルされ, そのコードは `op_add_T0_rN` に対応づけられる. `add` 命令実行時に `gen_op_addr_T0_rN(REG2)` が呼ばれた時に, 対応づけられた x86 のコードが TB に転送され, 実行される.

4.4 V850 QEMU の実装

V850 QEMU のための主な改造方針と改造箇所は以下である.

- QEMU のソースコードを調査し, もっとも簡単なコーディングである SH を改造母体とすることにした.

```

void OPPR0T0 op_add_T0_rN(void)
{
    int32_t reg1_a,reg2_a,reg2_b;

    T1 = env->regs[PARAM1];
    env->regs[PARAM1] += T0;

    reg1_a = (int32_t)T0;
    reg2_a = (int32_t)T1;
    reg2_b = (int32_t)env->regs[PARAM1];

    if((unsigned)reg2_a > (unsigned)reg2_b)    psw_set(env->psw,PSW_CY);
    else    psw_unset(env->psw,PSW_CY);

    if((reg1_a>=0&&reg2_a>=0&&reg2_b<0) || (reg1_a<0&&reg2_a<0&&reg2_b>=0))
        psw_set(env->psw,PSW_OV);
    else psw_unset(env->psw,PSW_OV);

    if(reg2_b < 0)    psw_set(env->psw,PSW_S);
    else psw_unset(env->psw,PSW_S);

    if(reg2_b == 0)    psw_set(env->psw,PSW_Z);
    else psw_unset(env->psw,PSW_Z);
    RETURN();
}
    
```

図 4 gen_op_add_rN_T0 のマイクロオペレーションの実装

- V850 は仮想空間がないので、QEMU の仮想空間機構である softmmu を利用して仮想アドレスと物理アドレスを同一アドレスで固定させた。
- 上述したマイクロオペレーションを実装した。
- 命令コードのデコード部を追加した。

ソースコードサイズの改造母体規模と V850 に適応させた QEMU 開発規模を表 1 と表 2 にそれぞれ示す。改造工数は、コンピュータアーキテクチャの知識を持った者が行い、約 1 人月であった。

表 1 改造母体規模

モジュール名	行数 (KL)
共通部分	77
ハードウェアドライバエミュレーション (hw,slirp,fpu)	55
ターゲット CPU 命令実行部 (arm,mips,m68k,i386,ppc,sh)	58
その他	53
合計	243

表 2 V850QEMU の開発規模

ファイル名	概要	規模 (行)
TARGET_dis.c		-
hw v850.c	ターゲットボードの定義	173
target-v850 cpu.h		109
exec.h		69
helper.c	割込みメモリ管理	163
op.c	ターゲット命令をホスト命令で定義	1542
op_helper.c	op.c で呼ばれるホスト命令実行でのサブルーチン	133
op_mem.c	メモリロード・ストア時の glue	79
translate.c	ターゲット命令をホスト命令に変換	771
合計		3039

5. 性能評価

開発した V850 シミュレータの性能測定を行った。性能測定を行った環境は表 3 のとおりである。

表 3 測定環境

CPU	Intel Core2 Duo CPU E8400 @ 3.00GHz,2.99GHz
メモリ	3.24 GB RAM
OS	Vine Linux 4.2

性能測定のために以下のプログラムを用意した．

T1: 10万回の空ループするプログラム

T2: mov 命令を10万回のループするプログラム

T3: add 命令を10万回のループするプログラム

更に、4からフラグ設定に多くのプログラムを要していることから、フラグ設定を省略したマイクロオペレーションを作成し、T4として実行した．

図5はQEMUの命令ルーチンを簡易的に表記したものである．この図において、 $A-B_1-C$ 間をTBにヒットしなかった場合のデコード・命令実行時間、 $A-B_2-C$ 間をTBにヒットした場合の命令実行時間を、上記のT1からT4までのプログラムを実行させ、計測した．実行時間測定は、`gettimeofday`を使用した．

計測結果をまとめると以下ようになる．

- TBにヒットしなかったとき1命令を5~40 μ 秒で実行
- TBにヒットしたとき1000命令を0.7~7 μ 秒で実行
- フラグ設定を省略した場合はフラグ設定を省略しない場合の30%程度の速度で実行．
一命令に対して、TBにヒットしたときとしてないときで千倍程度の差がでている．高速なシミュレーション実行が可能となる一方、TBにヒットする場合としない場合で速度差が大きく、実時間でリアルタイム処理のプログラムをシミュレーションする場合、注意が必要となる場合がある．しかし、プログラムの構造が比較的単純である場合、TBに全てのターゲットプログラムのコードを搭載することも可能であり、実時間のシミュレーションも可能となりうる．

6. おわりに

本稿では、現在の車載ソフトウェア開発に用いられているシミュレータについて述べ、現状の課題から要求されるであろうシミュレータの開発について述べた．シミュレータの開発では、QEMUを用いて、V850をターゲットCPUとして、QEMUのマイクロオペレーションを定義し、V850のマイクロオペレーションをC言語で記述し実装した．また開発したシミュレータの性能測定を行った．

今回の開発から今後解決すべき課題として、

- フラグセットの簡略化
- 命令コードの最適化
- TCG(Tiny Code Generator)への対応

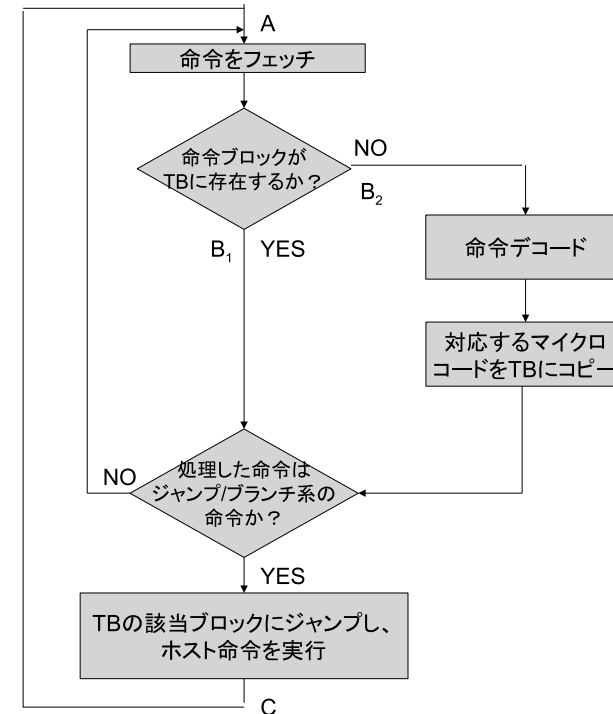


図5 測定ポイント

- デバイスシミュレータ構築手法とCPUシミュレータとデバイスシミュレータを統合するソフトウェアプラットフォームの研究

があげられる．

現在、マイクロオペレーションの実装の中でフラグの判定を行っている．そのため命令のコード量が大きくなってしまっているためである．フラグセットの簡略化の必要性は性能測定の結果からもわかる．

現在ターゲットCPUの命令は各命令単位でマイクロオペレーションに分解している．しかし、複数命令をまとめてマイクロオペレーション分解することで、より最適化された命令に分解できる可能性がある．この実現にはコンパイラの最適化技術の適用が考えられる．

QEMUの最新版(0.10.x)では、本稿で述べたようなマイクロコードを個別プロセッサ毎

に設計するのではなく、TCG(Tiny Code Generator)と呼ばれる共通なマイクロコードで実装している⁴⁾。TCGの共通マイクロコードで実装することで、共通コードを利用した様々なサービスを楽しむことが可能となる(例えば、8))。

制御対象となるデバイスはアナログ、デジタル両方の動作挙動を有するため、これらの挙動を統一的に扱うことが可能なモデルとそれに使ったデバイスシミュレータ構築手法が必要となる。また、CPUシミュレータとデバイスシミュレータを統合するソフトウェアプラットフォームとして、筆者らのグループでは現在オープンソースCORBAであるMICOを評価している¹⁾。

謝 辞

本研究は科学研究補助金基盤研究(C)(21500040)と富士通テン(株)の支援を受けている。

参 考 文 献

- 1) Abe, I., Nakamoto, Y., Terada, H. and Osaki, T.: Approaches to Evaluate Performance of MICO as Distributed Automotive Software Platform, *Proc. the 9th International Symposium on Autonomous Decentralized Systems* (2009). (to appear).
- 2) Balmelli, L.: An Overview of the Systems Modeling Language for Products and Systems Development, *Journal of Object Technology*, Vol.6, No.6 (2007).
- 3) Bellard, F.: QEMU, a Fast and Portable Dynamic Translator, *Proc. USENIX 2005 Annual Technical Conference*, pp.41-46 (2005).
- 4) Fabrice Bellard: qemu - Subversion Repositories (2008). <http://savannah.nongnu.org/svn/?group=qemu>.
- 5) Ishikawa, M., McCune, D., Saikalas, G. and Oho, S.: CPU Model-Based Hardware/Software Co-design, Co-simulation and Analysis Technology for Real-Time Embedded Control Systems, *Proc. 13th IEEE Real Time and Embedded Technology and Applications Symposium*, pp.3-11 (2007).
- 6) Kivity, A., Kamay, Y., Laor, D., Lublin, U. and Liguori, A.: kvm: the Linux Virtual Machine Monitor, *Proc. Ottawa Linux Symposium*, pp.225-230 (2007).
- 7) Leslie, B.: A quick look inside the Android emulator (2007). <http://benno.id.au/blog/2007/11/29/android-qemu>.
- 8) Nakamoto, I., Osaki, T. and Abe, I.: Proposing Universal Execution Trace Framework for Embedded Software using QEMU, *Proc. the 1st International Workshop on Software Technologies for Future Dependable Distributed Systems*, pp.173-176 (2009).

- 9) Nakamoto, Y., Abe, I., Osaki, T., Terada, H. and Moriyama, Y.: Toward Integrated Virtual Execution Platform for Large-scale Distributed Embedded Systems, *Proc. 6th IFIP WG 10.2 International Workshop, Software Technologies for Embedded and Ubiquitous Systems*, pp.317-322 (2008).
- 10) NEC: V850 ファミリー 32 ビット・シングルチップ・マイクロコンピュータ ユーザマニュアル アーキテクチャ編 (1994).
- 11) Zhao, Y., Liu, J. and Lee, E.A.: A Programming Model for Time-Synchronized Distributed Real-Time Systems, *Proc. 13th IEEE Real Time and Embedded Technology and Applications Symposium*, pp.259-268 (2007).
- 12) 川合秀美: OS 自作入門, 朝日コミュニケーションズ (2006).